

О ТУРБУЛЕНТНОЙ КОНВЕКЦИИ В ВЕРТИКАЛЬНОЙ ТРУБЕ

Л. Э. Бэр

(Пермь)

Получены интегральные формулы, выражающие теоремы о количестве движения и кинетической энергии для случая наложения вынужденной и свободной конвекции в вертикальной трубе. Эти формулы позволяют рассчитать распределение скоростей в сечении трубы при ламинарном, турбулентном и промежуточном режимах течения при наличии в жидкости произвольно распределенных по сечению внутренних источников тепла, а также без них. Выведены интегральные формулы для определения коэффициента сопротивления и теплообмена, также справедливые для всех режимов течения. Общие формулы применяются для расчета конкретных случаев. Рассматривается турбулентная вязкость при наложении вынужденной и свободной конвекции.

Обозначения

$v^{(0)}$	скорость вынужденной конвекции;	r_0	радиус трубы;
$v^{(1)}$	скорость свободной конвекции;	ν_t	турбулентная вязкость;
$\langle v \rangle$	средняя скорость по сечению трубы;	χ_t	турбулентная температуропроводность;
$T^{(0)}$	температура при вынужденной конвекции;	A	постоянный осевой температурный градиент на стенке трубы;
$T^{(1)}$	температура при свободной конвекции;	p_0	осредненное давление, соответствующее постоянной температуре жидкости;
T_w	температура стенки трубы;	z	координата вдоль оси трубы, направленная вверх;
y	расстояние от стенки трубы;		
y_*	безразмерное расстояние от стенки;		
r	расстояние от оси;		

Q — количество тепла, выделяемое внутренними источниками в единице объема жидкости в единицу времени; R^* — число Рэлея;

$$u^{(0)} \equiv \frac{v^{(0)}}{v_*}, \quad u^{(1)} \equiv \frac{v^{(1)}}{v_*}, \quad v^{(0,1)} = v^{(0)} + v^{(1)}$$

$$u^{(0,1)} \equiv u^{(0)} + u^{(1)}$$

$$w^{(0)} \equiv \frac{v^{(0)}}{\langle v \rangle}, \quad w^{(1)} \equiv \frac{v^{(1)}}{\langle v \rangle}, \quad w^{(0,1)} \equiv w^{(0)} + w^{(1)}$$

$$T^{(0,1)} = T^{(0)} + T^{(1)}$$

$$\theta \equiv \frac{T}{Ar_0}, \quad \xi \equiv \frac{r}{r_0}, \quad \psi \equiv 1 + \frac{\nu_t}{\nu}, \quad \psi_1 \equiv 1 + \frac{\chi_t}{\chi}$$

$$G \equiv \frac{g \beta Ar_0^4}{\nu^2}, \quad P \equiv \frac{\nu}{\chi}, \quad P_t \equiv \frac{\nu_t}{\chi_t}, \quad P_1 \equiv \frac{P}{P_t}$$

$$R^* \equiv GP, \quad R_* \equiv \frac{v_* r_0}{\nu}, \quad R = \frac{\langle v \rangle 2r_0}{\nu}, \quad Q_* \equiv \frac{Q}{\rho_0 C_p A v_*}$$

$$y_* = \frac{v_* y}{\nu} = R_* (1 - \xi), \quad \langle T \rangle - T_w \equiv \left[\int_0^1 (T - T_w) v \xi d\xi \right] \left(\int_0^1 v \xi d\xi \right)^{-1}$$

$$J_1(\xi) \equiv \int_1^\xi u^{(0)} \xi d\xi, \quad J_2(\xi) \equiv \int_0^\xi u^{(0,1)} \xi d\xi, \quad J_3(\xi) \equiv \int_0^\xi (u^{(0,1)} - Q_*) \xi d\xi,$$

$$\begin{aligned} J_4(\xi, 1) &\equiv \int_1^\xi \frac{J_3(\xi) d\xi}{(1 + \chi_t/\chi) \xi}, \quad J_5(\xi, 0) \equiv \int_0^\xi \frac{J_3(\xi)}{1 + \chi_t/\chi} \xi d\xi, \quad J_6(\xi) \equiv \int_0^\xi w^{(0,1)} \xi d\xi \\ J_7(\xi) &\equiv \int_0^\xi (w^{(0,1)} - 1) \xi d\xi, \quad J_8(\xi) \equiv \int_0^\xi u^{(1)} \xi d\xi \end{aligned}$$

Средний температурный напор $\langle T \rangle = T_w$. Динамическая скорость v_* определяется из равенства $2\rho_0 v_*^2 / r_0 = -\rho_0 g - \partial p_0 / \partial z$.

1. Уравнения задачи. Турбулентная вязкость. Рассмотрим уставившееся турбулентное движение жидкости в вертикальной круглой трубе, температура стенок которой изменяется вдоль длины трубы по линейному закону. Пусть также имеется постоянный вертикальный градиент давления, и в жидкости произвольно по сечению, но осесимметрично, распределены внутренние источники тепла. Жидкость предполагается механически несжимаемой, но термически деформируемой, так что на вынужденное течение накладывается свободная конвекция. Течение предполагается осесимметричным, осредненная скорость — вертикальной.

В принятых предположениях уравнения задачи будут [1,2]

$$\begin{aligned} \nabla(\psi \nabla u) &= -2R_* - (G/R_*)\theta \\ \nabla(\psi_1 \nabla \theta) &= -PR_* Q_* + PR_* u \quad (1.1) \end{aligned}$$

В уравнения (1.1) входят четыре неизвестные функции: u, θ, v_t, χ_t . Для их определения двух уравнений (1.1) недостаточно. Поэтому найдем v_t и χ_t путем обработки опытных материалов и из некоторых физических соображений. Границное условие

$$u = 0 \text{ при } \xi = 1 \quad (1.2)$$

Температура при смешанной конвекции должна отсчитываться от взятой определенным образом средней калориметрической температуры жидкости.

Если функции v_t и χ_t известны, то при помощи уравнений (1.1) могут быть найдены все динамические и тепловые характеристики турбулентной конвекции в вертикальной трубе.

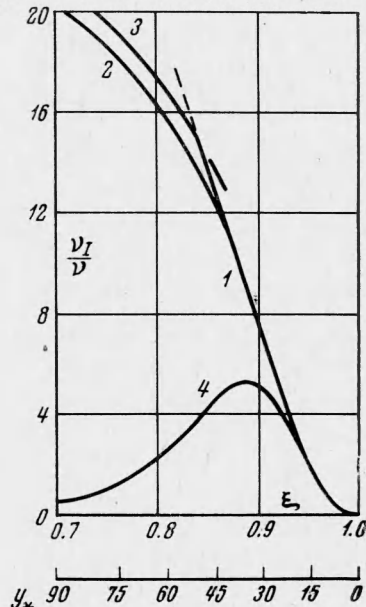
При чисто вынужденной конвекции турбулентная вязкость вблизи стенки трубы хорошо выражается функцией [3]

$$v_t / v = 4.4 \left(\frac{1}{11} y_* - \tanh \frac{1}{11} y_* \right) \quad (1.3)$$

в ядре потока — функцией

$$v_t / v = \frac{1}{15} R_* (1 - \xi^2) (1 + 2\xi^2) - 1 \quad (1.4)$$

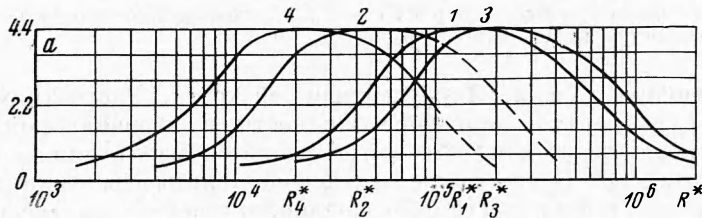
Вблизи стенки (1.4) теряет силу. Заметим, что формулы (1.3), (1.4) отличаются от соответствующих формул, полученных в [3], тем, что для более короткого письма в них подставлено значение κ ($\kappa = 0.4$), и в (1.3) коэффициент 11 вынесен за скобки.



Фиг. 1

В пристеночном слое будем брать v_t / v согласно (1.3) до точки сопряжения с (1.4), в ядре потока — согласно (1.4). На фиг. 1 кривые 1, 2, 3 выражают соответственно (1.3) (1.4) и $v_t / v \neq 1$ при $R_* = 314.25$. Значению параметра $R_* = 314.25$ при чисто вынужденной конвекции соответствует число Рейнольдса, равное $R = 10^4$. Отношение $v_t / \chi_t \equiv P_t$ будем считать постоянным.

Сложнее обстоит дело при наложении вынужденной и свободной турбулентной конвекции. Форма профиля скорости оказывает существенное влияние на развитие турбулентных пульсаций, а значит, и турбулентных напряжений в потоке.



Фиг. 2

Как было указано в [1] и как видно из экспериментальных данных [4, 5], в случае, когда в пристеночном слое потоки вынужденной и свободной конвекции находятся в противотоке (случай $R^* < 0$), возникает дополнительное возмущение пристеночного слоя и увеличение турбулентной вязкости в этом слое. Это ведет к возрастанию сопротивления течению и усилинию теплопередачи. Напротив, когда потоки в пристеночном слое совпадают (случай $R^* > 0$), турбулентные пульсации, а значит, и турбулентная вязкость в этом слое значительно убывают. Некоторое изменение турбулентной вязкости в ядре течения весьма незначительно влияет на сопротивление и теплопередачу.

Это явление можно назвать эффектом возмущения или стабилизации вязкого пристеночного слоя. Попытаемся учесть этот эффект, исходя из следующих соображений. Вблизи стенки добавочная турбулентная вязкость ε / v должна зависеть от безразмерного расстояния от стенки y_* в четвертой степени [6], вне пристеночного слоя ε / v должна обращаться в нуль. Этим требованием удовлетворяет функция

$$\varepsilon / v = a (y_*)^{1/11} \exp(-1/11 b y_*) \quad (1.5)$$

Постоянные a и b определяются из экспериментов.

Изучая экспериментальные данные работы [5], можно заметить, что в случае совпадения потоков вынужденной и свободной конвекции у стенки теплопередача постепенно убывает по мере увеличения свободной конвекции, причем наибольшее уменьшение составляет 25–30% и наступает, когда вынужденная и свободная конвекция — величины одного порядка. Этот факт может послужить для определения a и b в (1.5). Если положить $a = -4.4$, $b = 1.4$ и рассчитать теплопередачу, то вычисленное число Нуссельта будет на 25% меньше, чем при $a = 0$.

Когда скорость свободной конвекции на оси трубы одной величины с вынужденной, можно, основываясь на вышеуказанных фактах, с удовлетворительной точностью положить $a = -4.4$, $b = 1.4$, если потоки у стенки совпадают; $a = 4.4$, $b = 1.4$, если потоки у стенки не совпадают. График функции (1.5) при $a = 4.4$, $b = 1.4$ представлен на фиг. 1 кривой 4.

Переменные ξ и y_* связаны зависимостью $y_* = R_* (1 - \xi)$. На фиг. 1, кроме масштаба для ξ , дан дополнительный масштаб для y_* при $R_* = 314.25$.

Как показано ниже (см. п. 3), при $P = 1$, $P_t = 1$, $R_* = 314.25$, $Q_* = 0$ свободная конвекция на оси трубы одной величины с вынужденной, т. е.

$$|u^{(1)}(0)| = |u^{(0)}(0)|$$

при $R_1^* = 1.1 \cdot 10^5$ и $R_2^* = -4.2 \cdot 10^4$. Если же $Q_* = 0.1 R_+$, то это равенство выполняется при $R_3^* = 1.7 \cdot 10^5$; если $Q_* = -0.1 R_+$, то при $R_4^* = -1.90 \cdot 10^4$. На фиг. 2 построена зависимость коэффициента a от R^* для этих четырех случаев. При этом каждый раз ставилось требование, чтобы $a = 4.4$ для указанных значений R^* и убывало в десять раз, если R^* возрастает или убывает в десять раз. Восходящая ветвь кривой задавалась функцией

$$a = 4.4 \exp[-c_i(R^* - R_i^*)^{1/2}] \quad (1.6)$$

и падающая ветвь — функцией

$$a = 4.4 \exp[-c_i'(R^* - R_i^*)^{1/2}] \quad (1.7)$$

Коэффициенты c_i и c'_i были определены так, чтобы (1.6) и (1.7) удовлетворяли указанным выше требованиям. Выражения (1.6), (1.7) и коэффициенты a и b в (1.5) должны рассматриваться как предварительные, и для их обоснования и уточнения нужны физические эксперименты.

На фиг. 2 кривые построены для значений параметров 1 ($R^* > 0$, $Q_* = 0$) 2 ($R^* < 0$, $Q_* = 0$), 3 ($R^* > 0$, $Q_* = 0.1 R_*$), 4 ($R^* < 0$, $Q_* = -0.1 R_*$).

Во всех случаях $P = 1$, $P_t = 1$, $R_* = 314.25$.

После того как $u(0)^{(1)}$ и $u(0)^{(0)}$ вычислены с учетом поправки к турбулентной вязкости, следует найти значения R_i^* , а затем определить положение кривых на фиг. 2. Зная R_i^* , будем определять поправку к турбулентной вязкости при помощи (1.5) и выражений (1.6), (1.7). Причем при $R^* > 0$, $Q_* = 0$ коэффициент $a < 0$; при $R^* < 0$, $Q_* = 0$ коэффициент $a > 0$. При $Q_* \neq 0$ следует пользоваться более общим правилом: если потоки вынужденной и свободной конвекции у стенки совпадают, то $a < 0$; если потоки у стенки находятся в противопотоке, то $a > 0$.

Уравнения (1.1) относятся к типу слабонелинейных. Нелинейность вносится коэффициентами турбулентного переноса. Принцип суперпозиции решений однородного и неоднородного уравнений, или свободной и вынужденной конвекции, применим к ним только с некоторой оговоркой. Ниже этот принцип использован при решении поставленной задачи. Тем самым в решение вносится некоторая малая погрешность.

2. Теоремы о количестве движения и кинетической энергии. Выведем интегральные зависимости, выражающие теоремы о количестве движения и кинетической энергии при наложении турбулентной вынужденной и свободной конвекции в вертикальной трубе.

Интегрируя первое из уравнений (1.1) от нуля до ξ и имея в виду, что температура в (1.1) должна отсчитываться от средней температуры, найдем распределение касательных напряжений на расстоянии ξ от оси

$$\frac{\tau}{\rho_0} = - \left(g + \frac{1}{\rho_0} \frac{\partial p_0}{\partial z} \right) \frac{r_0}{2} \xi + \frac{Gv^2}{r_0^2 \xi} \int_0^\xi (\theta^{(0,1)} - \langle \theta \rangle) \xi d\xi \quad (2.1)$$

При помощи второго из уравнений (1.1) найдем температуру жидкости, отсчитанную от температуры стенки на расстоянии ξ от оси

$$\theta^{(0,1)} - \theta_w = PR_* J_4(\xi, 1) \quad (2.2)$$

С учетом (2.2) можно (2.1) привести к виду

$$\begin{aligned} \frac{\tau}{\rho_0} = & - \left(g + \frac{1}{\rho_0} \frac{\partial p_0}{\partial z} \right) \frac{r_0}{2} \xi - \frac{Gv^2}{2r_0^2} (\langle \theta \rangle - \theta_w) \xi + \\ & + \frac{GPvv_* \xi}{2r_0} J_4(\xi, 1) - \frac{GPvv_*}{2r_0 \xi} J_5(\xi, 0) \end{aligned} \quad (2.3)$$

Подставляя (2.3) в соотношение

$$\frac{\tau}{\rho_0} = - \frac{v}{r_0} \left(1 + \frac{v_t}{v} \right) \frac{dv}{d\xi} \quad (2.4)$$

и выполняя ряд преобразований, в том числе интегрирование по частям, получим

$$\begin{aligned} u^{(0)}(0) + u^{(1)}(0) = & - \left[\left(g + \frac{1}{\rho_0} \frac{\partial p_0}{\partial z} \right) \frac{r_0^2}{2vv_*} + \frac{GP\chi(\langle \theta \rangle - \theta_w)}{2r_0 v_*} \right] \int_0^1 \frac{\xi d\xi}{1 + v_t/v} - \\ & - \frac{GP}{2} \int_0^1 \left[\frac{1}{\xi^2} \int_0^\xi \frac{\xi d\xi}{1 + v_t/v} - \int_1^\xi \frac{d\xi}{(1 + v_t/v)\xi} \right] \frac{J_3(\xi) \xi d\xi}{(1 + \chi_t/\chi)} \end{aligned} \quad (2.5)$$

Полагая в (2.5) $G = 0$, найдем значение скорости при вынужденной конвекции на оси трубы

$$u^{(0)}(0) = R_* \int_0^1 \frac{\xi d\xi}{1 + v_t/v} \quad (2.6)$$

Здесь учтено равенство

$$-\left(g + \frac{1}{\rho_0} \frac{\partial p_0}{\partial z}\right) = \frac{2v_*^2}{r_0} \quad (2.7)$$

Анализ показал, что при принятых допущениях свободная конвекция не будет создавать расхода жидкости через сечение трубы, если температура отсчитывается от средней температуры, определяемой равенством

$$\langle\theta^{(0,1)}\rangle - \theta_w = \left[\int_0^1 (\theta^{(0,1)} - \theta_w) v^{(0)} \xi d\xi \right] \left(\int_0^1 v^{(0)} \xi d\xi \right)^{-1} \quad (2.8)$$

Вычитая (2.6) из (2.5) и подставляя значение $(\langle\theta\rangle - \theta_w)$ согласно (2.8), предварительно подвергнув (2.8) ряду преобразований с использованием второго из уравнений (1.1), будем иметь

$$\begin{aligned} u^{(1)}(0) = GP \sqrt{\frac{f}{8}} \int_0^1 \frac{J_1(\xi) J_3(\xi) d\xi}{(1 + \chi_t/\chi) \xi} \int_0^1 \frac{\xi d\xi}{1 + v_t/v} - \\ - \frac{GP}{2} \int_0^1 \left[\frac{1}{\xi^2} \int_0^\xi \frac{\xi d\xi}{1 + v_t/v} - \int_1^\xi \frac{d\xi}{(1 + v_t/v) \xi} \right] \frac{J_3(\xi) \xi d\xi}{(1 + \chi_t/\chi)} \end{aligned} \quad (2.9)$$

Интегральная зависимость (2.5) выражает теорему о количестве движения. Уравнение (2.9), так же как и (2.5), справедливо для ламинарного, турбулентного и промежуточного режимов течения при наличии в жидкости внутренних источников тепла и без них, т. е. для всех режимов течения, при которых верны уравнения (1.1).

Умножим первое из уравнений (1.1) на $v^{(0,1)} \xi d\xi$ и проинтегрируем его по ξ от нуля до единицы, тогда с учетом соотношений

$$\int_0^1 v^{(1)} \xi d\xi = 0, \quad \langle v \rangle = 2 \int_0^1 v^{(0)} \xi d\xi, \quad \int_0^1 v^{(0)} (\theta^{(0,1)} - \langle\theta\rangle) \xi d\xi = 0 \quad (2.10)$$

и (2.7) будем иметь

$$\frac{1}{2} R_* R + G \int_0^1 (\theta^{(0,1)} - \langle\theta\rangle) u^{(1)} \xi d\xi - R_* \int_0^1 \left(1 + \frac{v_t}{v} \right) \left(\frac{du^{(0,1)}}{d\xi} \right)^2 \xi d\xi = 0 \quad (2.11)$$

Последнее из соотношений (2.10) легко получить из (2.8).

Подстановка (2.2) в (2.11) и выполнение ряда преобразований дает

$$\frac{R}{2} - GP \int_0^1 \frac{J_8(\xi) J_3(\xi) d\xi}{(1 + \chi_t/\chi) \xi} - \int_0^1 \left(1 + \frac{v_t}{v} \right) \left(\frac{du^{(0,1)}}{d\xi} \right)^2 \xi d\xi = 0 \quad (2.12)$$

Интегральная зависимость (2.12), так же как и (2.5), справедлива при всех режимах течения, при которых верны уравнения (1.1). Члены уравнения (2.12) с точностью до постоянного множителя выражают работу сил внешнего давления, архимедовой подъемной силы и сил вязкости соответственно.

При чисто вынужденной конвекции (2.12) принимает вид

$$\frac{R}{2} - \int_0^1 \left(1 + \frac{v_t}{v} \right) \left(\frac{du^{(0)}}{d\xi} \right)^2 \xi d\xi = 0 \quad (2.13)$$

Вычитая (2.13) из (2.12) и учитывая, что

$$\int_0^1 \left(1 + \frac{v_t}{v} \right) \frac{du^{(0)}}{d\xi} - \frac{du^{(1)}}{d\xi} \xi d\xi = 0$$

найдем

$$-GP \int_0^1 \frac{J_8(\xi) J_3(\xi) d\xi}{(1 + \chi_t/\chi) \xi} - \int_0^1 \left(1 + \frac{v_t}{v} \right) \left(\frac{du^{(1)}}{d\xi} \right)^2 \xi d\xi = 0 \quad (2.14)$$

3. Распределение скоростей. Применим выведенные выше интегральные зависимости для определения скорости при наложении вынужденной и свободной конвекции. Предварительно найдем скорость при вынужденной конвекции.

Если на вынужденное движение накладывается свободное, то турбулентная вязкость изменяется, поэтому изменяется и величина скорости. Например, $u^0(0) = 20$ при $R_* = 314.25$ ($R = 10^4$). Если же в (1.5) положить $a = -4.4$, $b = 1.4$ и выполнить соответствующие вычисления, то получим $u^{(0)}(0) = 35.0$, каковое значение на 75% больше прежнего. Если же взять $a = 4.4$, $b = 1.4$, то получим $u^{(0)}(0) = 16.0$ т. е. на 20% меньше.

Логарифмические формулы, а также закон одной седьмой, хорошо представляющие распределение скорости в ядре турбулентного потока в трубе, теряют силу вблизи стенки. Формула, определенная в [3], верная во всем сечении трубы, громоздка и потому не совсем удобна в обращении. Ниже получена простая и удобная формула, хорошо представляющая распределение скоростей во всем сечении трубы, включая непосредственное соседство со стенкой, и удовлетворяющая граничному условию на стенке.

Будем искать профиль скорости в трубе при турбулентном режиме течения в виде

$$u^{(0)} = a_1 \left[(1 - \xi^n) + \frac{1}{3} (1 - \xi^3) \right] \quad (3.1)$$

где n и a_1 — неопределенные коэффициенты. Для определения n вычислим среднюю по сечению скорость $\langle v \rangle$ и касательное напряжение на стенке τ_w с использованием (3.1) и подставим в выражение для коэффициента сопротивления $f \equiv 8\tau_w/\rho\langle v \rangle^2$. С другой стороны, значение коэффициента сопротивления может быть найдено согласно эмпирической формуле Блазиуса

$$f = 0.316 R^{-1/4} \quad (2.3 \quad 10^3 \leq R \leq 10^5) \quad (3.2)$$

или пригодной для широкого интервала чисел Рейнольдса формуле Филоненко [7]

$$f = (1.82 \lg R - 1.64)^{-2} \quad (3.3)$$

Приравнивая эти значения для коэффициента сопротивления, найдем

$$n = 1/6 [(7k - 8) \pm \sqrt{(7k - 4)^2 - 32k}] \quad (3.4)$$

Здесь

$$k = 0.00988 R^{3/4}, \quad \text{или} \quad k = 1/32 R (1.82 \lg R - 1.64)^{-2} \quad (3.5)$$

соответственно для f — согласно (3.2) и для f — согласно (3.3).

Заметим, что если турбулентная вязкость в трубе известна, то нет необходимости пользоваться эмпирическими данными для f . Коэффициент сопротивления может быть определен по выведенной ниже формуле (см. п. 4).

Для определения a_1 может послужить зависимость (2.6); $u_{\max}^{(0)}$ определим из (2.6), a_1 найдем согласно равенству

$$1/3 a_1 = u_{\max}^{(0)} \quad (3.6)$$

Как показывают расчеты по теплообмену, (3.1) почти не уступает по точности формуле из [3].

Из (3.4) следует, что если $R = 10^4$, то $n = 20.6$; если $R = 2.5 \cdot 10^4$, то $n = 43$; если $R = 10^5$, то $n = 128$.

Найдем распределение скорости при наложении ламинарной вынужденной и свободной конвекций. Функции, в виде которых ищем решение, должны удовлетворять граничному условию прилипания жидкости на стенке и условию замкнутости потока свободной конвекции. Возьмем в качестве аппроксимирующей функции

$$u^{(1)} = A_1 (1 - \xi^2) (1 - 3\xi^2) + A_2 (1 - \xi^{10}) (1 - 7/3 \xi^2) \quad (3.7)$$

Здесь A_1 и A_2 — неизвестные коэффициенты. Функцию (3.7) и

$$u^{(0)} = \frac{1}{2} R_* (1 - \xi^2) \quad (3.8)$$

подставим в (2.9) и (2.14), положив в них $v_t / v = 0$, и из этих двух уравнений найдем A_1 и A_2 . В результате таких вычислений было установлено, что коэффициент A_1 должен быть найден из квадратного уравнения относительно A_1 , в которое входят параметры GP , Q_* , R_* . После этого A_2 определяется из линейного уравнения. Так как уравнение для определения A_1 — квадратное, то для заданных параметров GP и Q_* получим два значения A_1 , а затем найдем два значения A_2 . При этом одна пара коэффициентов A_1 и A_2 (будем ее называть основной) дает практически полное согласие с точным решением [8, 9]. Вторая пара (побочная) дает плохое согласие с решением [8, 9]. Из двух коэффициентов A_1 в качестве основного следует брать наименьший по модулю. Сравнение с точным решением при значениях параметров $-100 \leq R^* \leq 10^4$,

$$Q_* = 0, \quad Q_* = \frac{1}{4} R_*, \quad Q_* = \frac{1}{40} R_*, \quad Q_* = \frac{5}{2} R_*$$

показывает, что наибольшее отклонение от точного не превышает 0.5%. В большинстве же случаев отклонение гораздо меньше.

Убедившись в эффективности метода решения, найдем скорость при наложении турбулентной вынужденной и свободной конвекции. Приближающая функция для турбулентной свободной конвекции должна удовлетворять граничному условию, условию замкнутости потока свободной конвекции, а также отражать факт наличия большого градиента скорости у стенки. Положим

$$u^{(1)} = A_1 (1 - \xi^{30}) (1 - \frac{17}{8} \xi^2) \quad (3.9)$$

В качестве $u^{(0)}$ использована формула (3.1). Коэффициент сопротивления f был определен по выведенной ниже формуле (см. п. 4). Входящие в (2.9) и (2.14) интегралы были вычислены путем численного интегрирования с учетом (1.3) и (1.4). Результаты вычислений следующие.

При $R_* = 314.25$, $P_t = 1$, $P = 1$ было вычислено $u^{(1)}(0) = A_1$ при помощи (2.9) и (2.14). Формулы оказались однотипными, коэффициенты в них отличаются не более 5%. Взято среднее арифметическое значение этих коэффициентов. Таким путем было найдено

$$A_1 = \frac{(-3.20 \cdot 10^{-4} + 1.80 \cdot 10^{-5} Q_*) GP}{0.7 \cdot 10^{-5} GP + 1} \quad (3.10)$$

До сих пор не учитывался эффект возмущения или стабилизации пристеночного слоя. Учтем его теперь. Коэффициент A_1 вычислен с использованием (2.9), (2.14), (1.3), (1.4), (1.5) при $R_* = 314.25$, $P_t = 1$, $P = 1$, $a = 4.4$, $b = 1.4$

$$A_1 = \frac{(-2.10 \cdot 10^{-4} + 1.35 \cdot 10^{-5} Q_*) GP}{0.6 \cdot 10^{-5} GP + 1} \quad (3.11)$$

При $R_* = 314.25$, $P_t = 1$, $P = 1$, $a = -4.4$, $b = 1.4$ имеем

$$A_1 = \frac{(-6.20 \cdot 10^{-4} + 2.60 \cdot 10^{-5} Q_*) GP}{0.8 \cdot 10^{-5} GP + 1} \quad (3.12)$$

Формулы (3.11), (3.12) верны лишь для определенных значений числа R^* , так как каждому R^* соответствует определенное a (фиг. 2). Для других a были выполнены аналогичные вычисления и получены подобные формулы, тоже верные для определенных R^* . Таким путем находим ряд значений A_1 в зависимости от R^* . На фиг. 3 приведена зависимость $A_1 = A_1(R^*)$ для разных комбинаций значений параметров

- | | |
|---|--|
| 1 ($R^* > 0$, $Q_* = 0$, $a = 0$) | 2 ($R^* < 0$, $Q_* = 0$, $a = 0$) |
| 3 ($R^* > 0$, $Q_* = 0$, $a < 0$) | 4 ($R^* < 0$, $Q_* = 0$, $a > 0$) |
| 5 ($R^* > 0$, $Q_* = 0.1 R_*$, $a = 0$) | 6 ($R^* < 0$, $Q_* = -0.1 R_*$, $a = 0$) |
| 7 ($R^* > 0$, $Q_* = 0.1 R_*$, $a > 0$) | 8 ($R^* < 0$, $Q_* = -0.1 R_*$, $a > 0$) |

Учитывалась зависимость a от R^* согласно фиг. 2. Во всех случаях $P = 1$, $P_t = 1$, $R_* = 314.25$. При выводе (3.10) — (3.12) было принято $Q_* = \text{const}$.

4. Закон сопротивления. Определим закон сопротивления при наложении вынужденной и свободной конвекции в вертикальной трубе. Средняя по сечению трубы скорость будет

$$\langle v \rangle = 2 \int_0^1 v^{(0,1)} \xi d\xi \quad (4.1)$$

Выполняя ряд преобразований с учетом равенств (2.4), (2.7), а также первого из равенств (2.10), найдем

$$\langle v \rangle = -\frac{r_0^2}{2\nu\rho_0} \left(\rho_0 g + \frac{\partial p_0}{\partial z} \right) \int_0^1 \frac{\xi^3 d\xi}{1 + v_t/v} \quad (4.2)$$

Согласно определению коэффициента сопротивления, имеем

$$f \equiv -\frac{2r_0}{1/2\rho_0 \langle v \rangle^2} \left(\rho_0 g + \frac{\partial p_0}{\partial z} \right) \quad (4.3)$$

Исключая из (4.2) и (4.3) множитель в круглых скобках, получим

$$\frac{1}{f} = \frac{R}{16} \int_0^1 \frac{\xi^3 d\xi}{1 + v_t/v} \quad (4.4)$$

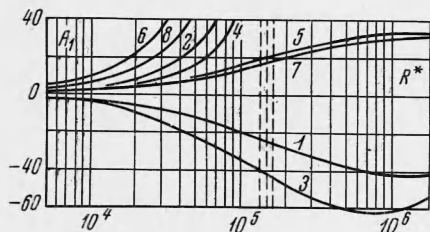
Из (4.3) и (2.7) следует

$$R_* = R \sqrt{1/32f} \quad (4.5)$$

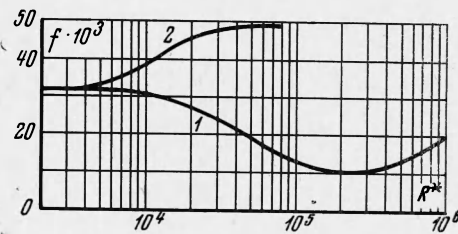
Если из (4.4) и (4.5) исключить число Рейнольдса R , то найдем

$$f = 8 / J^2 R_*^2 \quad (4.6)$$

где через J обозначен входящий в (4.4) интеграл. Если параметр R_* или $(\rho_0 g + \partial p_0 / \partial z)$ задан, то следует путем численного интегрирования найти интеграл J , а затем, согласно (4.6), отыскать f . После того как J и f найдены, можно определить R согласно (4.4) или (4.5).



Фиг. 3



Фиг. 4

Равенство (4.4) справедливо при ламинарном, турбулентном и промежуточном режимах течения. При ламинарном течении из (4.4) вытекает формула Пузейля

$$1/f = 1/64 R \quad (4.7)$$

Были вычислены f и R при $R_* = 314.25$ с использованием (1.3) и (1.4) и найдено, что $f = 0.0316$, $R = 10^4$. Если же учесть эффект возмущения или стабилизации при стеническом слое согласно (1.5), то при $R_* = 314.25$, $a = 4.4$, $b = 1.4$ будем иметь $f = 0.0495$, $R = 8000$, т. е. в этом случае R на 20% меньше, чем при $a = 0$. При том же R_* и $a = -4.4$, $b = 1.4$ вычисления дают: $f = 0.0102$, $R = 17600$, т. е. R увеличилось на 76%.

Таким образом, свободная конвекция влияет на сопротивление через эффект возмущения или стабилизации пристеночного слоя, и это влияние довольно значительно. При турбулентном течении в вертикальной трубе, нагревая или охлаждая стенки, можно регулировать сопротивление.

На фиг. 4 приведена зависимость f от R^* при $R_* = 314.25$, $Q_* = 0$ с учетом (1.3), (1.4), (1.5) и фиг. 2. Кривая 1 — для $R^* > 0$, кривая 2 — для $R^* < 0$.

5. Теплообмен в случае отсутствия внутренних источников тепла. Рассчитаем теплообмен при наложении турбулентной вынужденной и свободной конвекции в вертикальной трубе в случае отсутствия в жидкости внутренних источников тепла.

По определению, число Нуссельта равно

$$N \equiv \frac{2r_0 q_w}{\lambda (\langle T \rangle - T_w)} \quad (5.1)$$

При помощи второго из уравнений (1.1) найдем плотность теплового потока на стенке q_w при $Q_* = 0$

$$q_w = - \frac{1}{2} \rho C_p A r_0 \langle v \rangle \quad (5.2)$$

Подставляя в (5.1) равенство (5.2) и выражение для средней по тепло-содержанию температуры

$$\langle T \rangle - T_w = 2 \int_0^1 (T - T_w) w^{(0,1)} \xi d\xi \quad (5.3)$$

а также учитывая зависимость

$$v_* = \langle v \rangle \sqrt{f/8} \quad (5.4)$$

получим

$$\frac{1}{N} = 2 \int_0^1 \frac{J_0^2(\xi) d\xi}{(1 + P_1 v_t / v) \xi}, \quad \text{или} \quad \frac{1}{N} = \frac{f}{4} \int_0^1 \frac{J_2^2(\xi) d\xi}{(1 + P_1 v_t / v) \xi} \quad (5.5)$$

Равенство (5.5) справедливо при всех режимах течения, при которых верны уравнения (1.1) в случае $Q_* = 0$.

При помощи (5.5) можно установить, как влияет на теплопередачу свободное движение, накладывающееся на вынужденное. Рассмотрим сначала наложение ламинарной вынужденной и свободной конвекций.

Если потоки вынужденной и свободной конвекции у стенки находятся в противотоке ($R^* < 0$), то средняя температура жидкости увеличивается (в формуле (5.5) в этом случае $J_0(\xi) > 0$), что, как видно из (5.1), ведет к уменьшению числа N . Если

потоки у стенки совпадают ($R^* > 0$), то средняя температура жидкости уменьшается (в (5.5) $J_0(\xi) < 0$), что ведет к увеличению числа N . В то же время свободная конвекция, накладывающаяся на вынужденную, при принятых допущениях (среднененная скорость параллельна оси трубы, на стенках поддерживается постоянный вертикальный градиент температуры) не влияет на

плотность теплового потока на стенке. Это видно хотя бы из (5.2) (см. также [8], гл. 3, § 5).

Вычислена согласно (5.5) зависимость числа Нуссельта N от числа Релея R^* при $R^* > 0$ и $R^* < 0$. При этом использована формула $f = 64 R^{-1}$ или следующее из нее и (5.4) соотношение $2R = R_*^2$, справедливое при ламинарном вынужденном течении, а также наложении ламинарного вынужденного и свободного течения (п. 4). Вычисленная таким образом зависимость N от R^* практически полностью совпадает с таковой, определенной в работах [9, 10]. Кривые, представляющие эту зависимость при $R^* > 0$ и $R^* < 0$, находятся в удовлетворительном согласии с экспериментальными данными, приведенными в [9, 10].

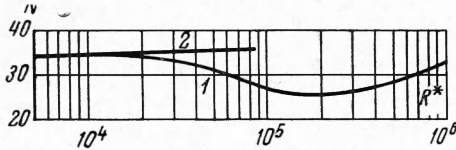
При турбулентном движении, как видно из (5.5), свободная конвекция влияет на теплопередачу двояко.

Если потоки вынужденной и свободной конвекции у стенки находятся в противотоке ($R^* < 0$), то турбулентная вязкость у стенки возрастает, что усиливает теплопередачу. С другой стороны, в этом случае средняя температура жидкости увеличивается, что ведет к уменьшению числа N . Который из этих факторов преобладает, должен показать расчет или эксперимент.

Если потоки у стенки совпадают ($R^* > 0$), то турбулентная вязкость у стенки уменьшается, N тоже убывает. Но в этом случае средняя температура жидкости уменьшается, что ведет к увеличению N .

Вычислено число Нуссельта при $R_* = 314.25$, $P_t = 1$, $P = 1$, $b = 1.4$, $a = 4.4$ (потоки у стенки в противотоке). Результат следующий: $N = 34.9$, т. е. на 1% больше, чем при $a = 0$. При $R_* = 314.25$, $P_t = 1$, $P = 1$, $b = 1.4$, $a = -4.4$ (потоки у стенки совпадают) число $N = 25.9$, т. е. на 25% меньше, чем при $a = 0$.

На фиг. 5 представлен график зависимости N от R^* ; кривая 1 — для случая $R^* > 0$ и кривая 2 для $R^* < 0$. Расчеты выполнены с учетом (1.3), (1.4), (1.5), (1.6) и (1.7).



Фиг. 5

Сравнивая теплообмен при ламинарном и турбулентном режимах течения, легко увидеть, что в случае $R^* > 0$ при ламинарном движении свободная конвекция усиливает теплопередачу, а при турбулентном — уменьшает ее. В случае $R^* < 0$ при ламинарном движении свободная конвекция уменьшает теплопередачу, а при турбулентном — наоборот. Это объясняется тем, что при ламинарном движении со стороны свободной конвекции на теплопередачу влияет один фактор, а при турбулентном — прибавляется второй (эффект возмущения или стабилизации пристеночного слоя), причем второй преобладает.

При значениях параметра R_* , больших 314.25, свободная конвекция будет сравнимой с вынужденной при значениях числа Рэлея, больших, чем в случае $R_* = 314.25$. Поэтому при R_* , больших 314.25, кривые $N = N(R^*)$ на фиг. 5, аналогичные изображенной, будут смешены вверх и вправо.

6. Теплообмен при наличии внутренних источников тепла. В работе [11] интегральное соотношение Лайона, позволяющее рассчитать теплообмен при отсутствии в жидкости внутренних источников тепла, обобщено на случай наличия в жидкости таких источников. При этом течение жидкости в трубе предполагалось чисто вынужденным. Обобщим названные интегральные соотношения для наложения вынужденной и свободной конвекций в вертикальной трубе.

Интегрируя уравнение энергии — второе из уравнений (1.1) — в случае равномерно распределенных в жидкости внутренних источников тепла мощности Q и постоянной плотности теплового потока на стенке q_w , найдем

$$T - T_w = - \frac{2q_w r_0}{\lambda} \int_1^{\xi} \frac{J_6(\xi) d\xi}{(1 + \chi_t/\chi) \xi} + \frac{Q r_0^2}{\lambda} \int_1^{\xi} \frac{J_7(\xi) d\xi}{(1 + \chi_t/\chi) \xi} \quad (6.1)$$

Подставляя (6.1) в выражение для средней по теплосодержанию температуры (5.3) и выполняя ряд преобразований, получим

$$\langle T \rangle - T_w = \frac{4q_w r_0}{\lambda} \int_0^1 \frac{J_6^2(\xi) d\xi}{(1 + \chi_t/\chi) \xi} - \frac{2Q r_0^2}{\lambda} \int_0^1 \frac{J_6(\xi) J_7(\xi) d\xi}{(1 + \chi_t/\chi) \xi} \quad (6.2)$$

Положим в (6.2) $q_w = 0$, тогда будем иметь

$$\langle T \rangle - T_{aw} = - \frac{2Q r_0^2}{\lambda} \int_0^1 \frac{J_6(\xi) J_7(\xi) d\xi}{(1 + \chi_t/\chi) \xi} \quad (6.3)$$

где через T_{aw} обозначена адиабатическая температура стенки.

Если считать плотность внутренних источников тепла произвольной по сечению трубы, то аналогичные вычисления дают

$$\langle T \rangle - T_{aw} = - \frac{2r_0^2}{\lambda} \int_0^1 \frac{1}{(1 + \chi_t/\chi) \xi} J_6(\xi) \left[2J_6(\xi) \int_0^1 Q \xi d\xi - \int_0^{\xi} Q \xi d\xi \right] d\xi \quad (6.4)$$

Вычтем теперь (6.2) из (6.3)

$$T_w - T_{aw} = - \frac{4q_w r_0}{\lambda} \int_0^1 \frac{J_6^2(\xi) d\xi}{(1 + \chi_t/\chi) \xi} \quad (6.5)$$

Из (6.5) видно, что при наличии в жидкости внутренних источников тепла плотность потока тепла на стенке q_w пропорциональна разности температур ($T_{aw} - T_w$), а не разности $\langle T \rangle - T_w$, как это бывает в случае отсутствия источников. Из (6.5) имеем

$$\frac{1}{N^*} = 2 \int_0^1 \frac{J_6^2(\xi) d\xi}{(1 + \chi_t/\chi) \xi}, \quad N^* \equiv \frac{q_w 2r_0}{(T_{aw} - T_w) \lambda} \quad (6.6)$$

Здесь N^* — число Нуссельта.

Если коэффициент теплообмена α отнести, как обычно, к разности температур $(\langle T \rangle - T_w)$, то число Нуссельта будет

$$\frac{1}{N} = 2 \int_0^1 \frac{J_6^2(\xi) d\xi}{(1 + \chi_t/\chi) \xi} - 2z_1 \int_0^1 \frac{J_6(\xi) J_7(\xi) d\xi}{(1 + \chi_t/\chi) \xi} \quad \left(z_1 = \frac{Qr_0}{2q_w} \right) \quad (6.7)$$

Здесь z_1 — относительная плотность внутренних источников тепла.

При некотором значении z_1 число Нуссельта, определяемое из (6.7), обращается в бесконечность. Поэтому в случае наличия в жидкости внутренних источников тепла теплообмен характеризуется не числом N , а отношением [11]

$$-\frac{(T_{aw} - \langle T \rangle)}{(T_{aw} - T_w)} = z_1 N_0 \Delta T_a, \quad \Delta T_a = \frac{\lambda}{Qr_0^2} (\langle T \rangle - T_{aw}) \quad (6.8)$$

Здесь ΔT_a — безразмерная разность между средней калориметрической температурой жидкости и адиабатической температурой стенки; N_0 — число Нуссельта для течения без внутренних источников. В работе [11] рассчитана зависимость этой величины от чисел Рейнольдса и Прандтля при чисто вынужденном турбулентном движении. Ниже приведены результаты вычислений зависимости этой величины от числа Рэлея при наложении вынужденной и свободной конвекции в вертикальной трубе.

На фиг. 6 представлена зависимость

$$C \equiv -\frac{(T_{aw} - \langle T \rangle)}{(T_{aw} - T_w) Z_1} \quad (6.9)$$

от R^* при наложении ламинарной вынужденной и свободной конвекции в вертикальной трубе при $Q_* = \pm 1/4 R_*$; кривая 1 ($R^* > 0, Q_* = 1/4 R_*$) и кривая 2 ($R^* < 0, Q_* = -1/4 R_*$). Заметим, что $Q_* < 0$ при $R^* < 0$, хотя источники тепла положительные ($Q > 0$). При $R^* \rightarrow 0$ величина C стремится к своему предельному значению $C = 3/11$, соответствующему чисто вынужденному ламинарному течению. Поскольку Q_* уже задано, то z_1 должно быть определено из зависимости

$$z_1 / (z_1 - 1) = Q_* V^{1/8} f \quad (6.10)$$

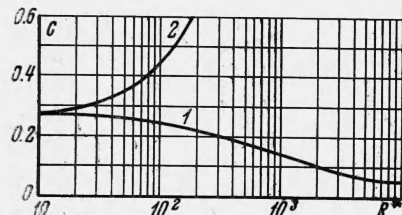
При выводе (6.10) использовано (6.11). Зависимость (6.10) применима как к ламинарному, так и турбулентному движению.

При наложении вынужденной и свободной конвекции, в отличие от чисто вынужденной конвекции, плотность источников Q_* должна быть задана заранее, чтобы было возможно найти коэффициенты в выражении для свободной конвекции.

Величина C равна отношению интегралов, входящих в выражение (6.7). При наложении турбулентной вынужденной и свободной конвекции на величину C влияют те же два фактора, которые влияют на величину N в случае отсутствия внутренних источников. Если плотность источников тепла положительна и достаточно велика (например, $Q_* = 0.1 R_*$), то в средней части трубы жидкость будет теплой, чем у стенки, и потому при $\beta > 0$ свободная конвекция направлена в средней части трубы кверху, а у стенки — книзу независимо от знака числа Рэлея. Если при этом вынужденное течение жидкости направлено кверху ($\langle v \rangle > 0$), то у стенки потоки будут в противотоке. Это легко увидеть из выражения (3.10), а также фиг. 3.

С учетом поправки к турбулентной вязкости, в соответствии с (1.5) — (1.7), были вычислены f , R , a_1 , n и A_1 согласно соответствующим формулам, а затем величина C согласно (6.9) для значений параметров $P = 1$, $P_t = 1$, $R_* = 314.25$, $Q_* = +0.1 R_*$. На фиг. 7 изображена вычисленная зависимость C от R^* . Кривая 1 — при $R^* > 0$ и $Q_* = 0.1 R_*$; кривая 2 — при $R^* < 0$, $Q_* = -0.1 R_*$. В обоих случаях потоки у стенки находятся в противотоке, поэтому в обоих случаях $a > 0$ в выражении (1.5).

Найдем плотность внутренних источников тепла в потоке, при которой жидкость течет через трубу без теплопередачи — стенки теплоизолированы. В этом случае количество тепла, генерируемое внутренними источниками тепла в единице объема жидкости, равно количеству тепла, уносимому потоком от единицы объема.



Фиг. 6

Интегрирование уравнения энергии при $Q = \text{const}$ дает

$$\frac{1}{2} \rho c_p A r_0 \langle v \rangle = - q_w + \frac{1}{2} Q r_0 \quad (6.11)$$

Полагая $q_w = 0$ и учитывая (5.4), найдем

$$Q_* = \sqrt{8/f} \quad (6.12)$$

Коэффициент сопротивления f должен быть найден по формуле (4.6).

При ламинарном течении — вынужденной конвекции или наложении вынужденной и свободной конвекции — справедливо (4.7). Тогда (6.12) дает

$$Q_* = \sqrt{1/8 R} = 1/4 R_* \quad (6.13)$$

При турбулентном вынужденном течении для $R_* = 314.25$, согласно (4.6), имеем $f = 0.0316$, и при помощи (6.12) находим: $Q_* = 15.9$, т. е. примерно $R_*/19.75$.

Таким образом, последовательность действий при решении поставленной задачи следующая. По заданному значению dp_0/dz находим R_* согласно выражению (2.7). При помощи параметра R_* находим f и R согласно формулам (4.4) — (4.6) и $u^{(v)}(0)$ — по формуле (2.6). По найденному значению числа Рейнольдса R определяем показатель n согласно (3.4). Зная $u^{(0)}(0)$, вычисляем a_1 из (3.6). По заданным параметрам P , P_t и R_* находим при помощи интегральных зависимостей (2.9) или (2.14) коэффициент A_1 , т. е. выражение вида (3.10). Находим поправку к турбулентной вязкости, связанную с эффектом возмущения или стабилизации вязкого пристенного слоя, при помощи (1.5) при каком-либо a , например $a = 4.4$. При помощи этой поправки снова находим f , R , a_1 , n согласно указанным выше формулам и вычисляем выражения вида (3.11), каждое из которых верно только для определенного значения R^* , так как каждому R^* соответствует определенное a . При помощи выражения вида (3.11) при заданном Q_* определяем значение числа Рэлея R_i^* , при котором свободная конвекция — одной величины с вынужденной, т. е. $|u^{(1)}(0)| = |u^{(0)}(0)|$; определяем положение криевых на фиг. 2. Таким путем находим ряд значений A_1 в зависимости от R^* .

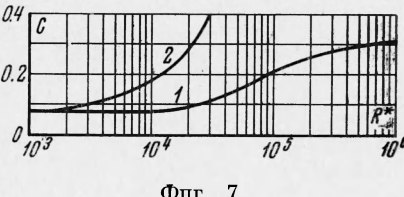
Для определения теплообмена в случае отсутствия внутренних источников тепла вычисляем интеграл (5.5) с учетом поправки к турбулентной вязкости. В случае наличия внутренних источников необходимо также предварительно найти по заданным P , P_t , R_* и Q_* поправку к турбулентной вязкости, как и в случае $Q_* = 0$; затем величину C , характеризующую теплообмен в случае $Q_* \neq 0$, находим согласно (6.9).

Автор благодарит Г. А. Остроумова, Е. М. Жуховицкого и Б. С. Петухова за обсуждение работы.

Поступила 1 IV 1967

ЛИТЕРАТУРА

1. Бэр Л. Э. Решение задачи о суперпозиции турбулентной вынужденной и свободной тепловой конвекции в вертикальной трубе при наличии в жидкости внутренних источников тепла. Изв. АН СССР. ОТН, Механика и машиностроение, 1962, № 6.
2. Бэр Л. Э. О решении уравнений смешанной турбулентной конвекции в вертикальной трубе. Изв. АН СССР. ОТН, Механика и машиностроение, 1963, № 3.
3. Reichardt H. Vollständige Darstellung der turbulenta Geschwindigkeitsverteilung in glatten Leitungen. Z. angew. Math. und Mech., 1951, v. 31, S. 208.
4. Петухов Б. С. и Нольде Л. Д. Теплообмен при вязкостногравитационном течении жидкости в трубах. Теплоэнергетика, 1959, № 1.
5. Eckert F. R. G., Daguila A. I. Convective heat transfer for mixed, free and forced flow through tubes. Trans. ASME, 1954, vol. 76, No. 4.
6. Лойцянский Л. Г. Перенос тепла в турбулентном движении. ПММ, 1960, т. 24, вып. 4.
7. Филоненко Г. К. Гидравлическое сопротивление трубопроводов. Теплоэнергетика, 1954, № 4.
8. Остроумов Г. А. Свободная конвекция в условиях внутренней задачи. Гостехиздат, 1952.
9. Hallman T. M. Combined forced and freestream heat transfer in vertical tubes with uniform internal heat generation. Trans. ASME, 1956, vol. 78, No. 8.
10. Brown W. G. Die Überlagerung von erzwungener und natürlicher Konvektion in senkrechten Röhren. «VDJ — Forschungsheft», 1960, No. 480.
11. Петухов Б. С., Генин Л. Г., Мальтер В. Л. Теплообмен в трубах при наличии в потоке жидкости внутренних источников тепла. Иж.-физ. ж., 1960, т. 3, № 9.



Фиг. 7